



NANOPLAZMONIKUS LÉZERES FÚZIÓS PROGRAM (NAPLIFE)

**Kroó Norbert
Wigner Fizikai Kutatóközpont**

Budapest, 2020.10.29



A következő évtizedek talán legnagyobb kihívása:

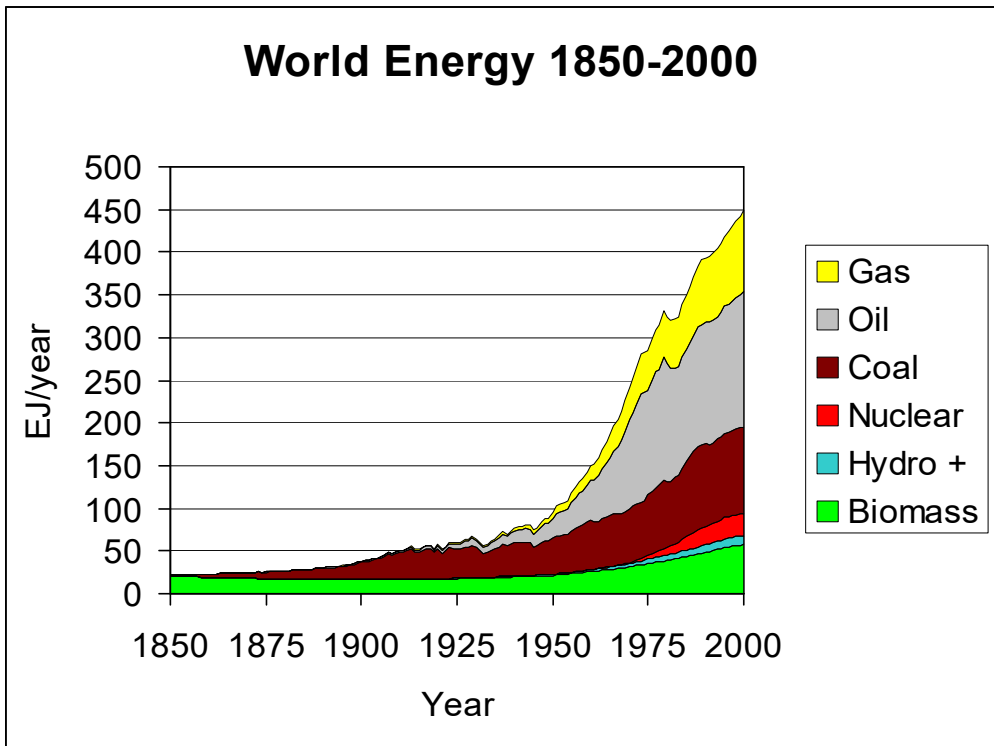
10¹⁰ EMBER SZÁMÁRA ENERGIA BIZTOSÍTÁSA

**Ehhez 2050-re minimum 10 Terawatt
megújuló energiaforrásra lesz szükség
És a globális prosperitás érdekében
ennek olcsónak kell lennie**

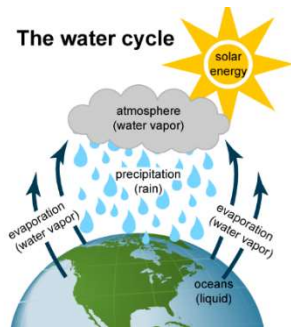
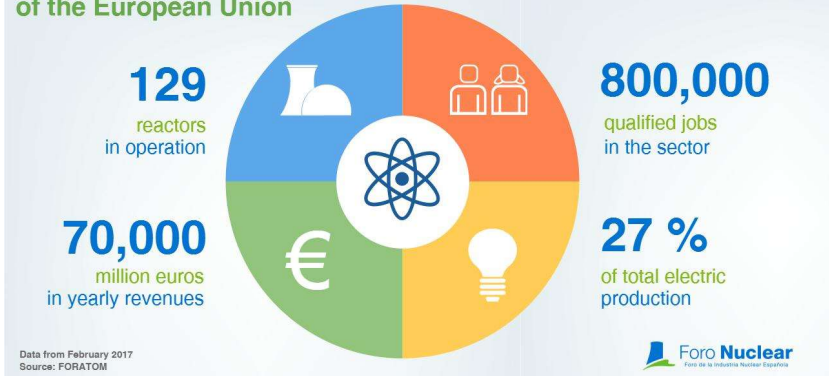
**EZT A JELENLEGI TECHNOLOGIÁKKAL
LEHETETLEN ELÉRNI**

És a környezetkárosítás?





The contribution of nuclear energy to the economy of the European Union



1850 és 2000 között a növekedés 20-szoros. A fosszilis források részesedése 2000-ben 80% volt.



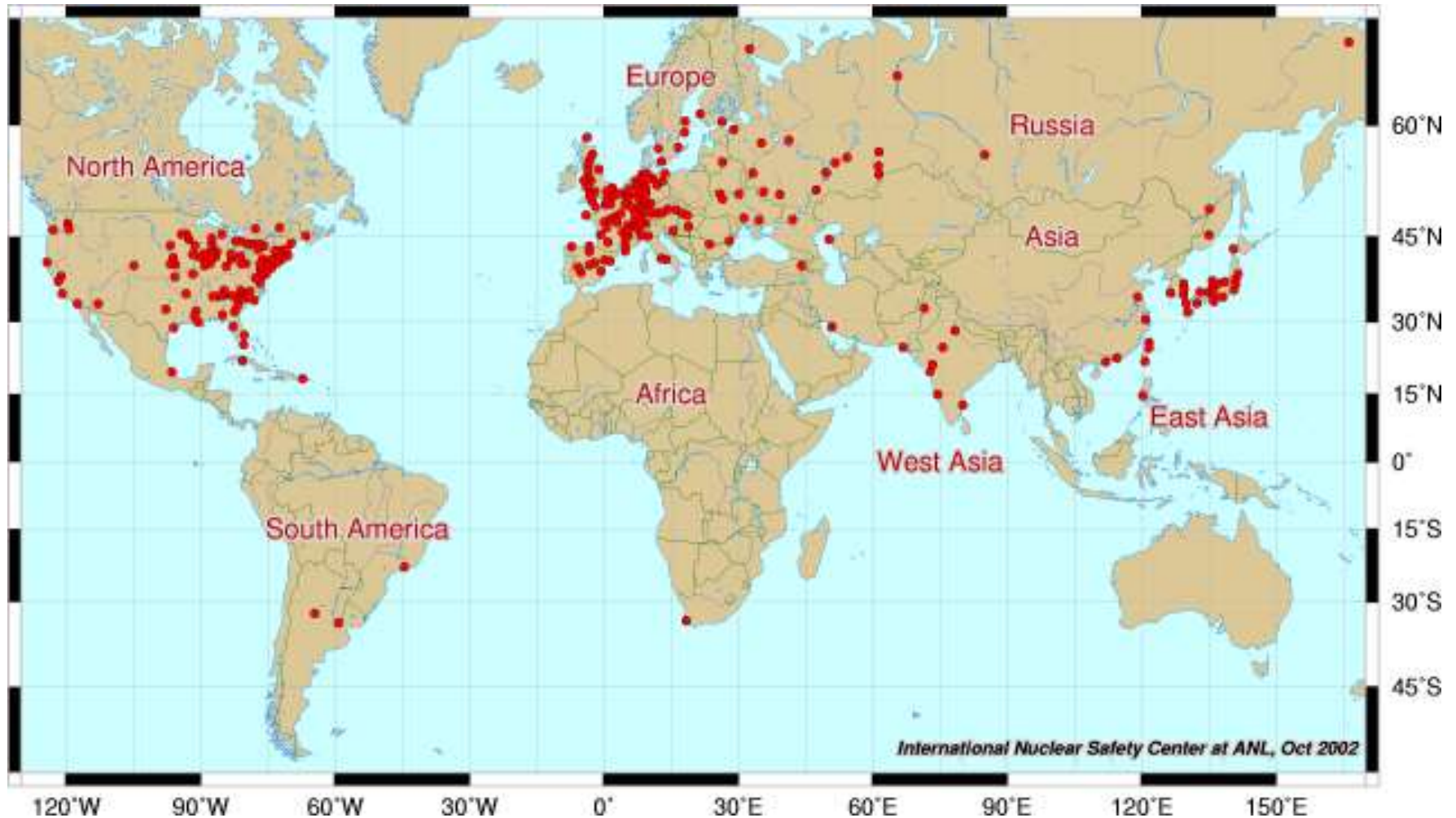
10-20% hatásfok, ha süt a nap. Nagy területigény.



Atomerőművek Földünkön

(az $E = mc^2$ törvény első energetikai alkalmazása)

RÁDIÓAKTÍV HULLADÉK PROBLÉMA!





Globális
energiafelhasználás

(2001)

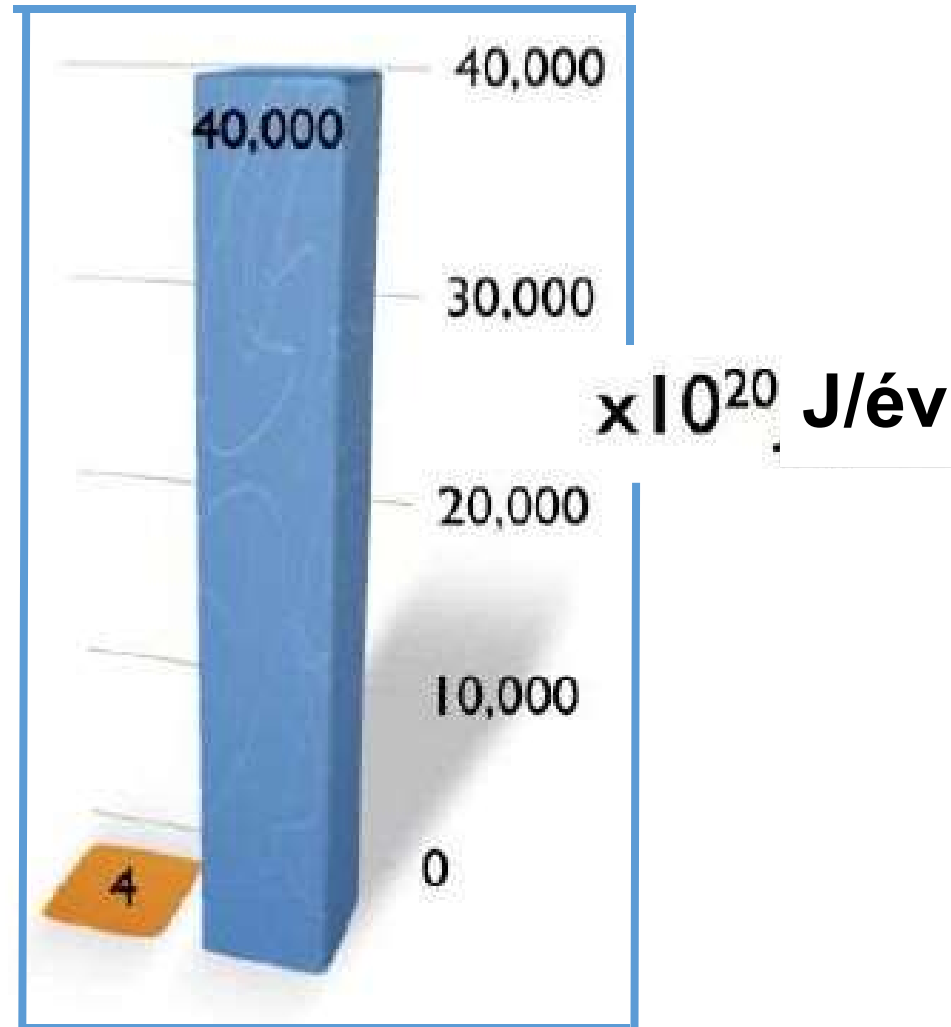


Napenergia

HOGYAN HASZNÁLJUK?

A takarékoság (pl. jobb hatásfok) ugyanolyan fontos, mint a megújuló energiaforrások.

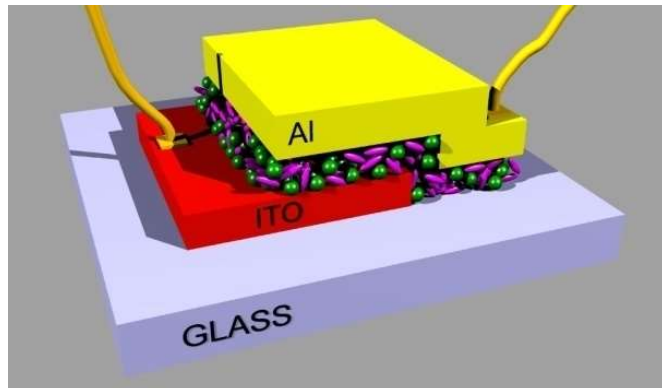
A termodinamika törvényeiről sem szabad elfelejtkezni.



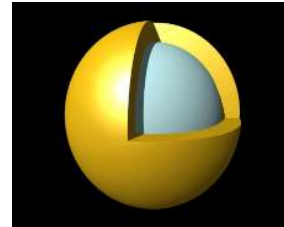
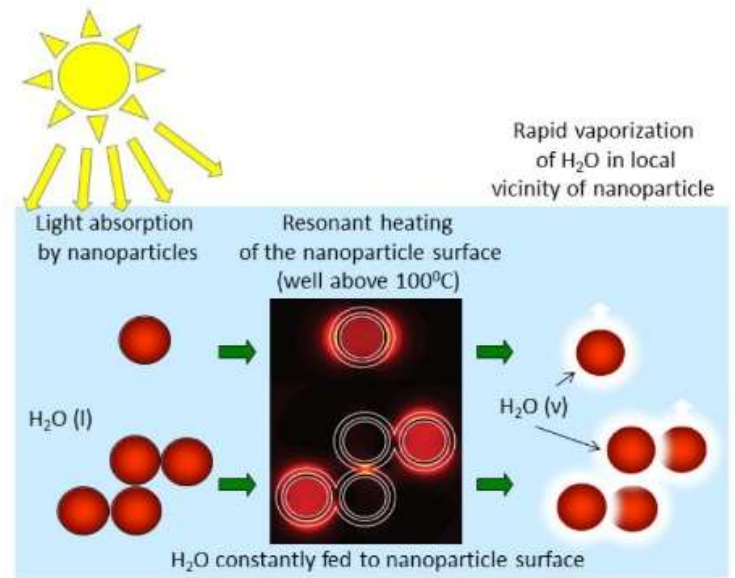
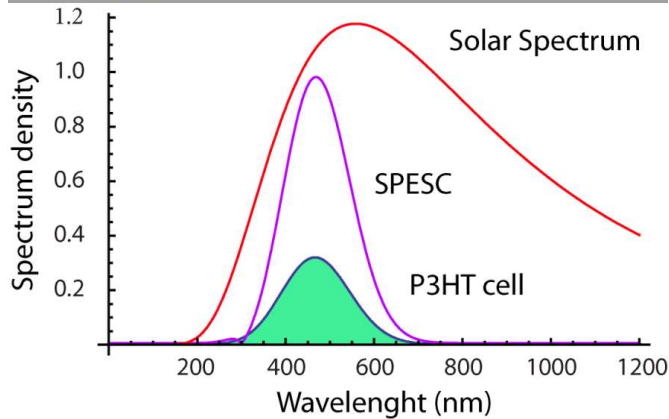
A földre érkező napenergia jelenlegi fogyasztásunk 10 000 szerese

Potenciális új lehetőségek

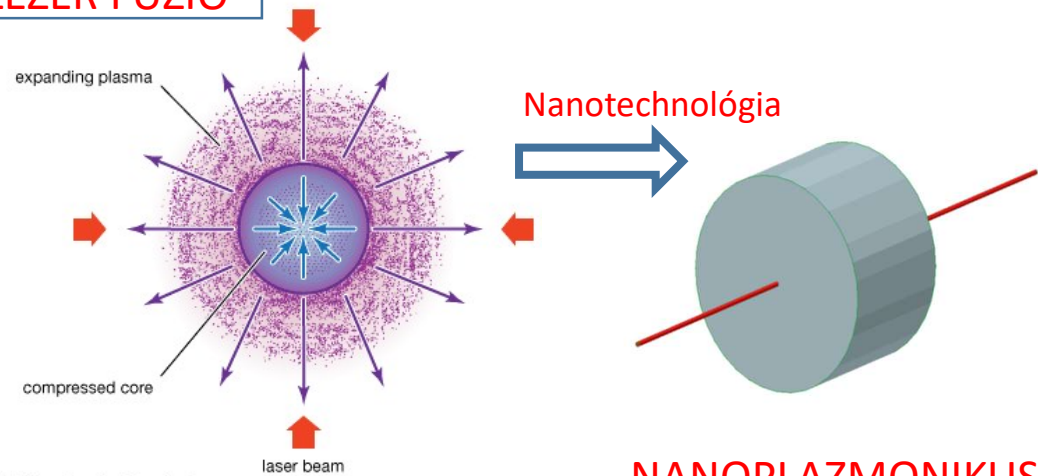
(Pl. nanotechnológia)



P3HT Cella
hatásfoka = 6%
SPESC (P3HT)
hatásfoka = 17.5%



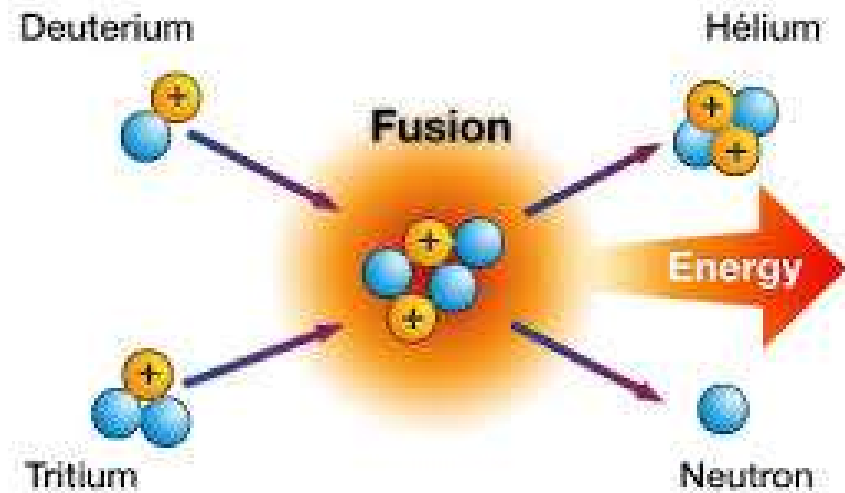
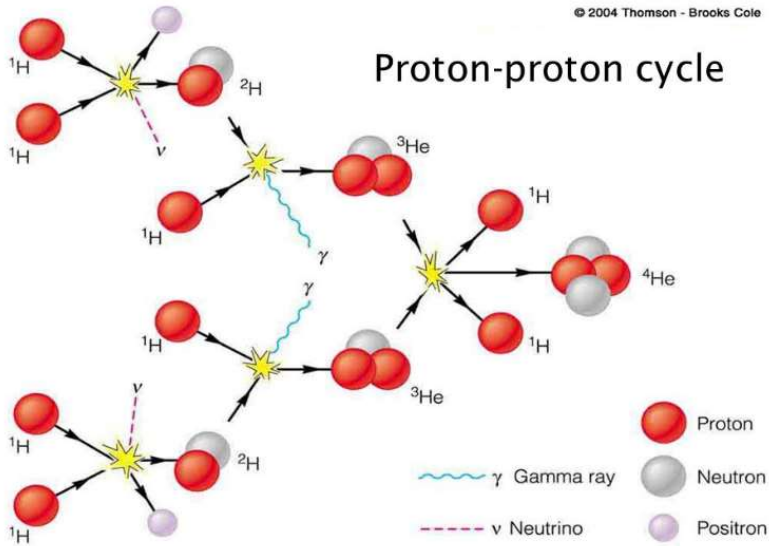
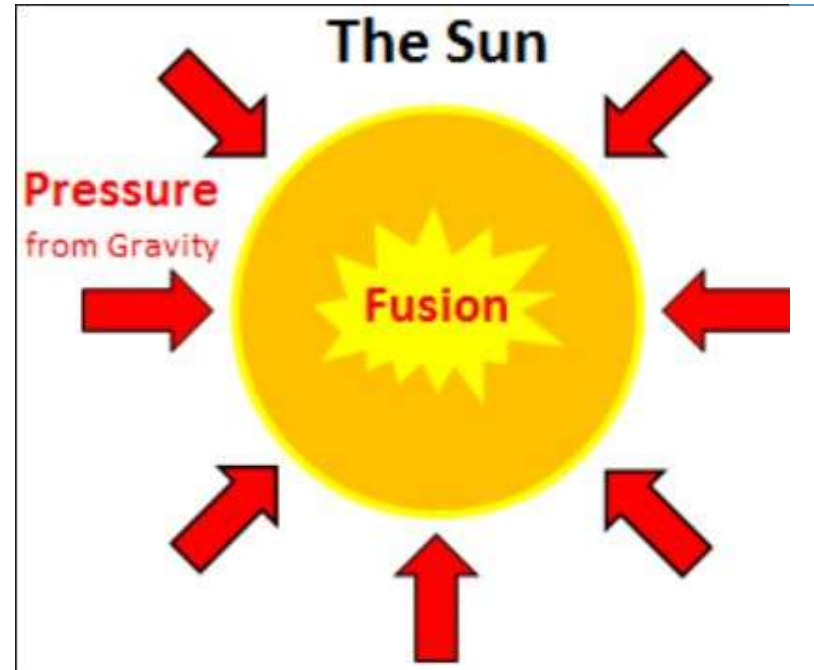
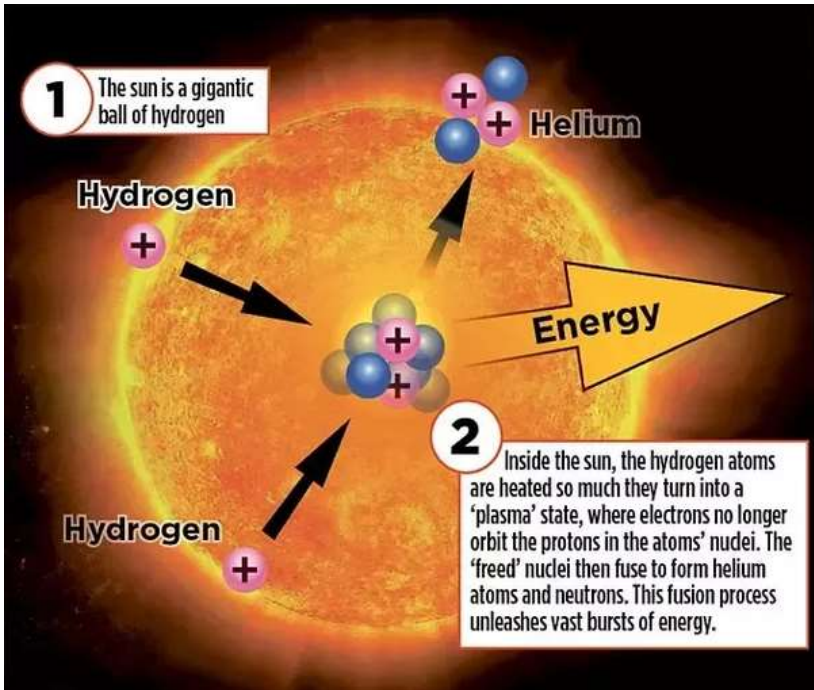
LÉZER FÚZIÓ



**NANOPLAZMONIKUS
LÉZER FÚZIÓ**

LENR





A jövő: fúzió

(két példa)

1. ITER épülőben



2. National Ignition Facility

192 nyaláb, 1.8MJ,
1lövés/nap



PROBLÉMÁK AZ INERCIÁLIS (NIF) FÚZIÓVAL:

Napenergia.

Hidrogénbomba és megszelidítése (korlátlan energiaforrás).

Többfajta próbálkozás (pl. ITER, NIF).

Utóbbinál óriási lézer energia igény és sok nyaláb (192),
(alacsony lézer hatásfok, ritka lövések).

„Lassú” összenyomás, hosszú lézerimpulzus (néhányszor 10ns).

Rayleigh-Taylor instabilitás.

Rossz hatásfokkal jut be a fény az anyagba.

Begyűjtés csak a gömbtarget közepén, nem time-like.

ALAPÖTLETEINK:

1. Nanorészek a targetben (gyors folyamat, plazmonikus erősítés, térfogati összenyomás, lapos target, csupán két nyaláb)
Kisebb minta, kisebb energiaigény, gyakori impulzusok.
2. A target „egyidejű” begyűjtása

KUTATÓ LABORATÓRIUM

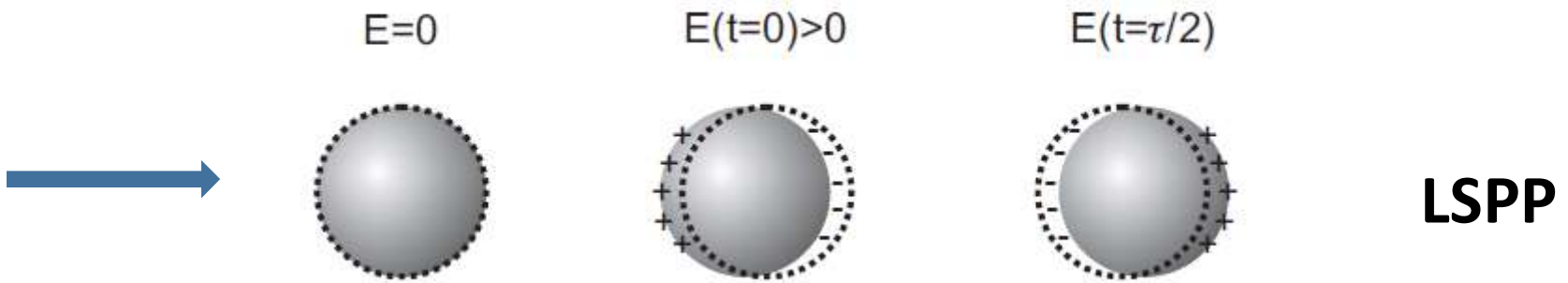
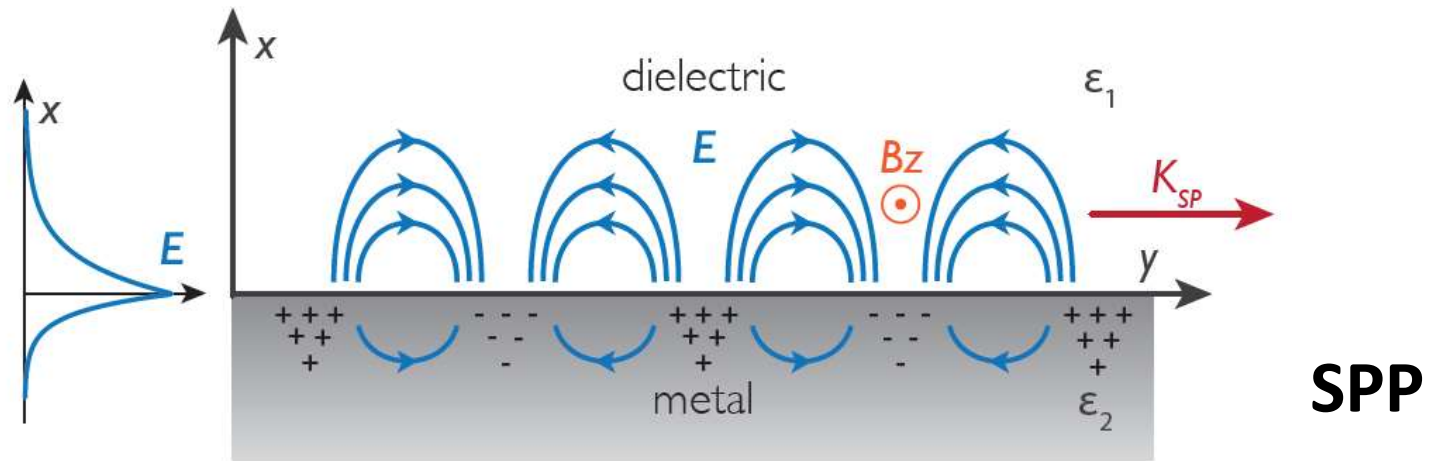
NANOPLAZMONIKUS LÉZER FÚZIÓ (NAPLIFE PROGRAM)

- *A fúzió egyidejű lézeres begyűjtása a céltárgy egész térfogatában (saját és új ötlet).
(a következő előadás tárgya: Csernai László)*
- **Nanoantennák** *gyűjtik össze a lézer energiát a céltárgy belsejében (saját és új ötlet)
(öt nagyságrenddel rövidebb, ~100fs lézerimpulzusokkal)*
- *Lassú termikus égés helyett a lézerbelövés energiáját direkt használjuk.
(nincs termikus egyensúly)*
- *Így a begyűjtés és égés nagyságrendekkel gyorsabban történik .*
- *Nagy teljesítményű belövések az ELI-ALPS berendezéseivel (csak 2 nyaláb, 10lövés/sec, 32J)
(szembe ütköző pl. H és D nyalábok)*

- **Fúziós energia = legtisztább energia és korlátlan üzemanyag**

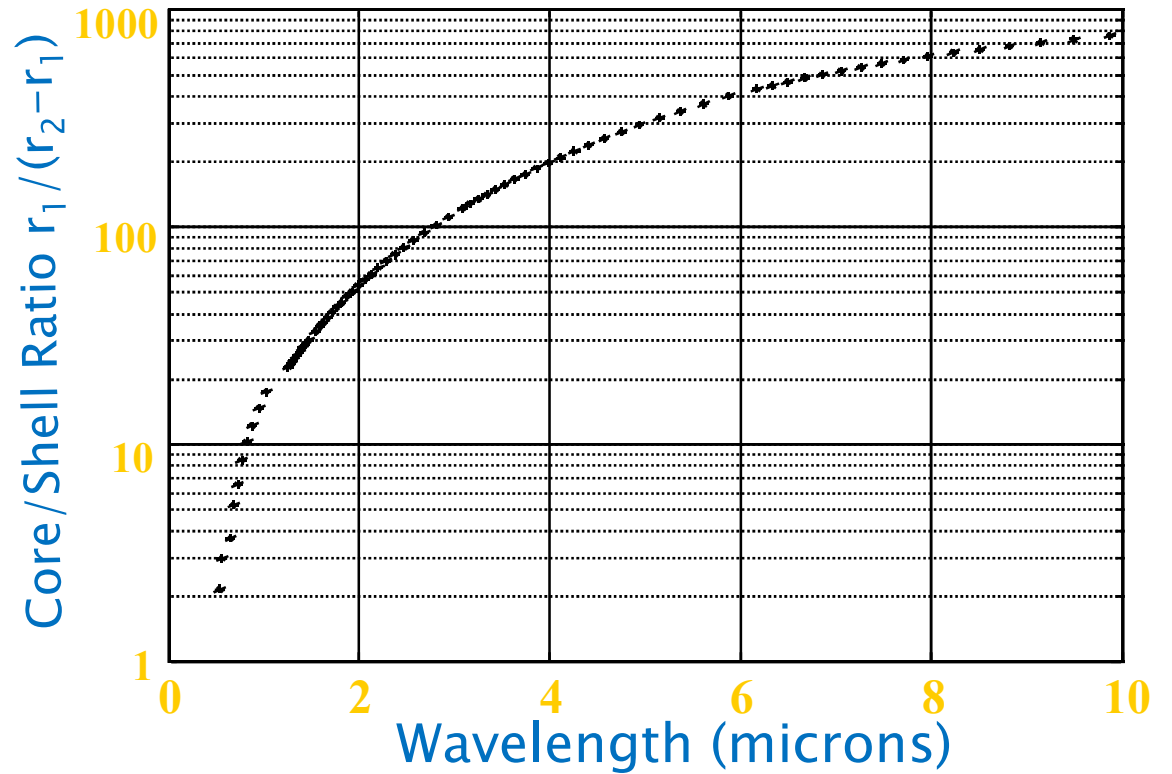
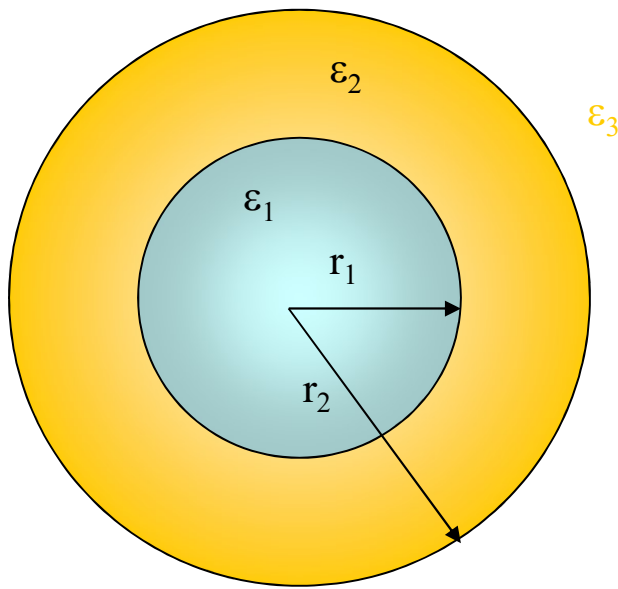


HIGH FIELD PLASMONICS



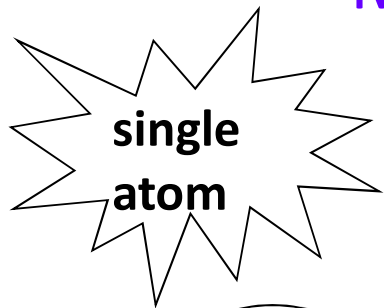
Ti:Sa lézer: $\lambda=800\text{nm}$ ($\sim 1.5\text{eV}$)

Spectral tuning range nanoshell plasmon rezonance



1.24 ← electron volts → 0.124
300 ← THz → 30
10,000 ← cm^{-1} → 1,000

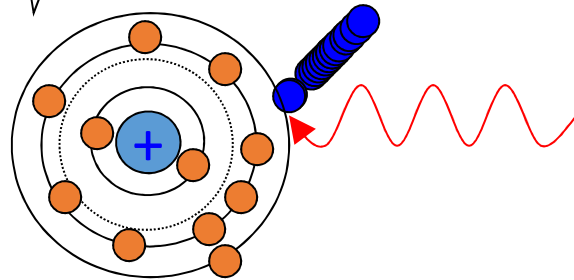
Matter under extreme conditions (extremely high intensities)



$$I = 10^{16} \text{ W cm}^{-2}$$

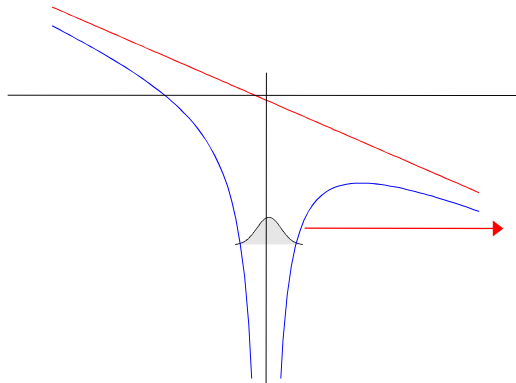


$$E \sim 10^9 \text{ V/cm}$$



High intensity
Photoelectric Effect

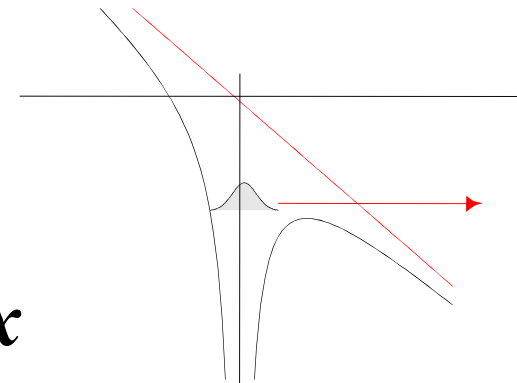
Rapid ionization of *valence* electrons



Tunnelling

$$10^{14} - 10^{15} \text{ W cm}^{-2}$$

$$V = -\frac{q}{x} \pm E \cdot x$$

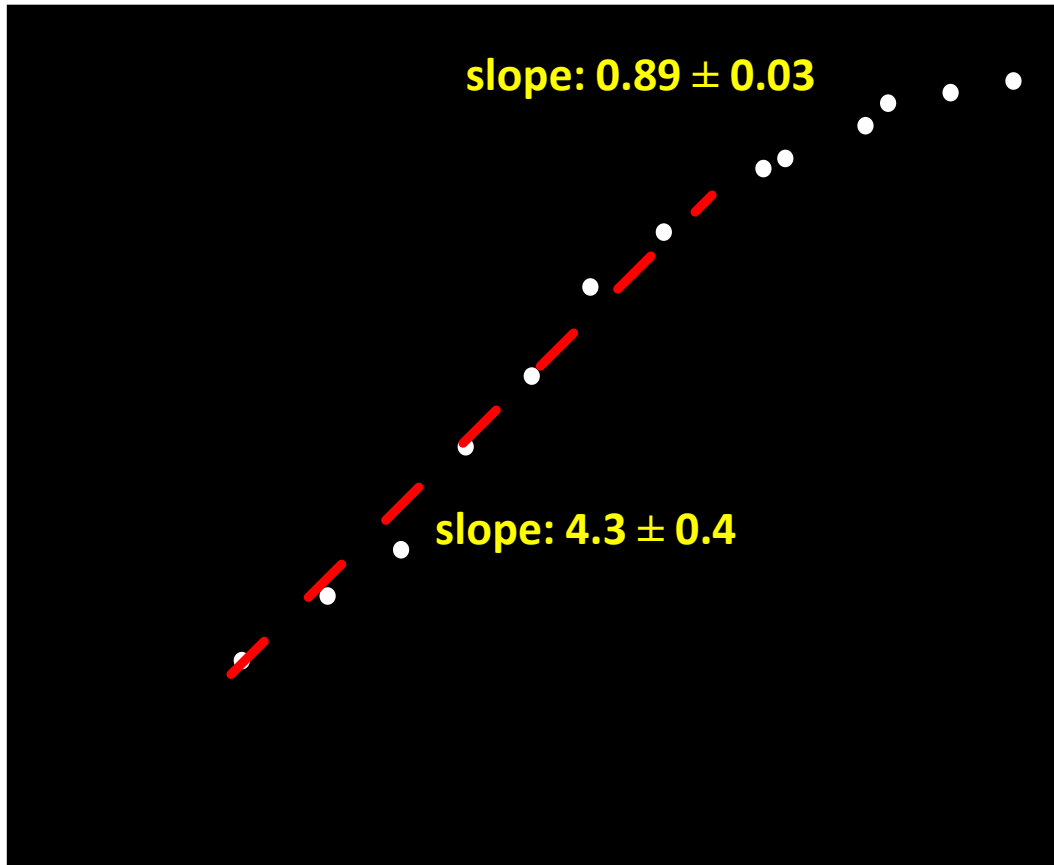


Over the barrier

$$> 10^{15} \text{ W cm}^{-2}$$

Each atom loses at least one electron. Some can lose as many as 6 !

Multiphoton electron emission from gold



Multiphoton-tunneling

transition at

$\sim 4 \times 10^{10}$ W/cm² incident intensity,

$\sim 5.5 \times 10^8$ V/m field

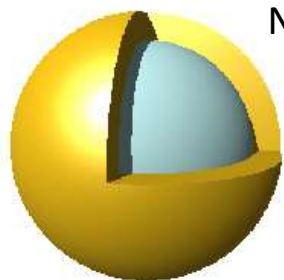
Keldysh-gamma $\gamma=31$

→ indication of well-known field enhancement of surface plasmonic fields

PLASMONSIC ENHANCEMENT!

W : work function, E_l : laser field strength

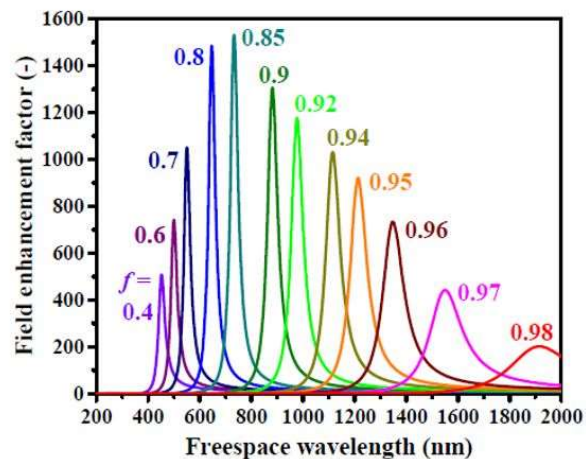
$$\gamma^2 = \frac{W}{2U_p} = \left(\frac{\omega \sqrt{2mW}}{eE_l} \right)^2$$



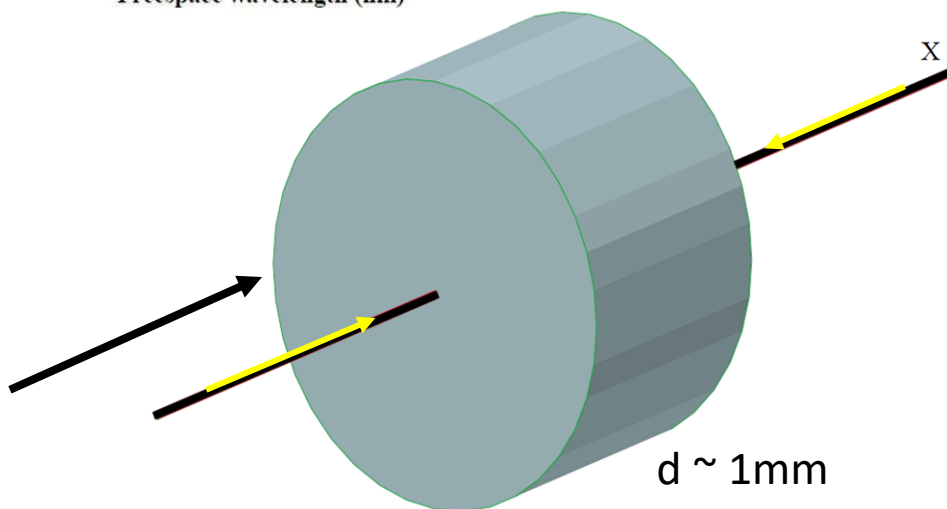
NANOSHELL



NANOROD



$\lambda = 800\text{nm}$



PICO/FEMTOSECOND LASER PULSES
 HIGH REPETITION RATE
 LIGHT SPEED: NO INSTABILITIES
 TWO BEAMS
 VOLUME IGNITION

NANOPARTICLES
 DOPED FUEL

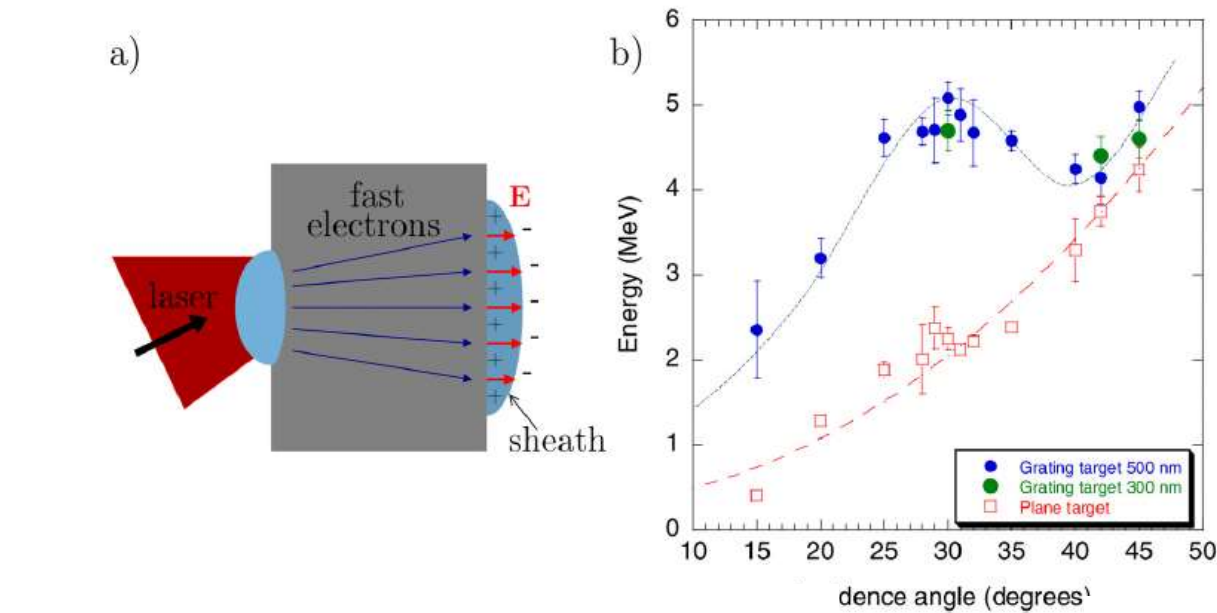


FIG. 5. Plasmon-enhanced TNSA of protons.⁹⁵ (a) Schematic of TNSA. The fast electrons produced by the interaction at the front side cross the target and produce a sheath at the rear side, where ions are accelerated. (b) Experimental data from the interactions of a high-contrast 25 fs, $2.5 \times 10^{19} \text{ W cm}^{-2}$ laser pulse with solid plastic targets. The cut-off energy of protons emitted from the rear measured as a function of the incidence angle from both flat and grating targets (for two different values of the grating depth). An up to 2.5-fold energy increase is observed for gratings, with a broad maximum around the resonant angle for SP excitation (30°). Data from Ref. 95.

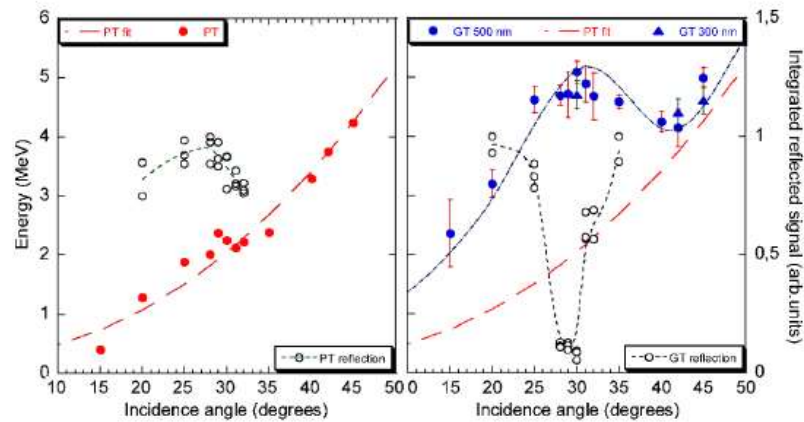


FIG. 3 (color online). Maximum proton energy (filled data points) and reflected light signal (empty data points) as a function of incidence angle α . Left and right frames correspond to $20 \mu\text{m}$ thick plane targets and to $23 \mu\text{m}$ thick grating targets, respectively. Filled circles and triangles correspond to 0.5 and $0.3 \mu\text{m}$ deep gratings, respectively. The (red) dashed line is proportional to $\sin^2 \alpha / \cos \alpha$. The other lines are guides for the eye.

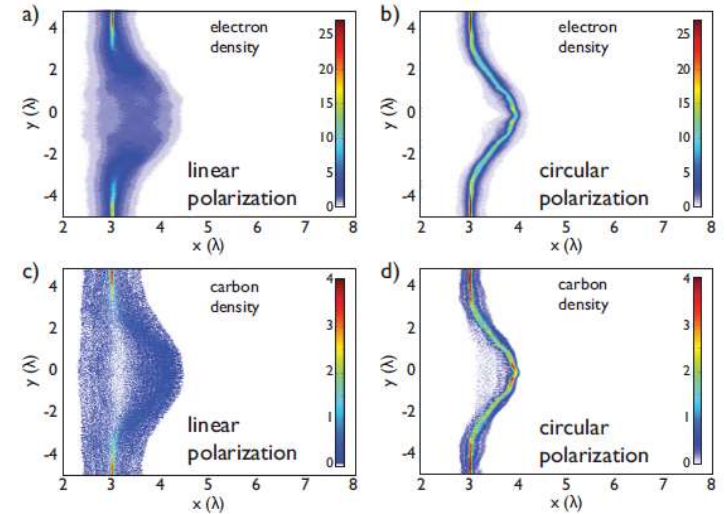


FIG. 4: (color). Cycle-averaged electron (a,b) and carbon ion (c,d) density at $t = 61 \text{ fs}$ after the peak of the laser pulse reached the 5.3 nm target initially located at $x = 3\lambda$. While linear polarization results in strong expansion of the target caused by hot electrons, for circularly polarized irradiation the foil is accelerated as a dense, quasi-neutral plasma bunch.

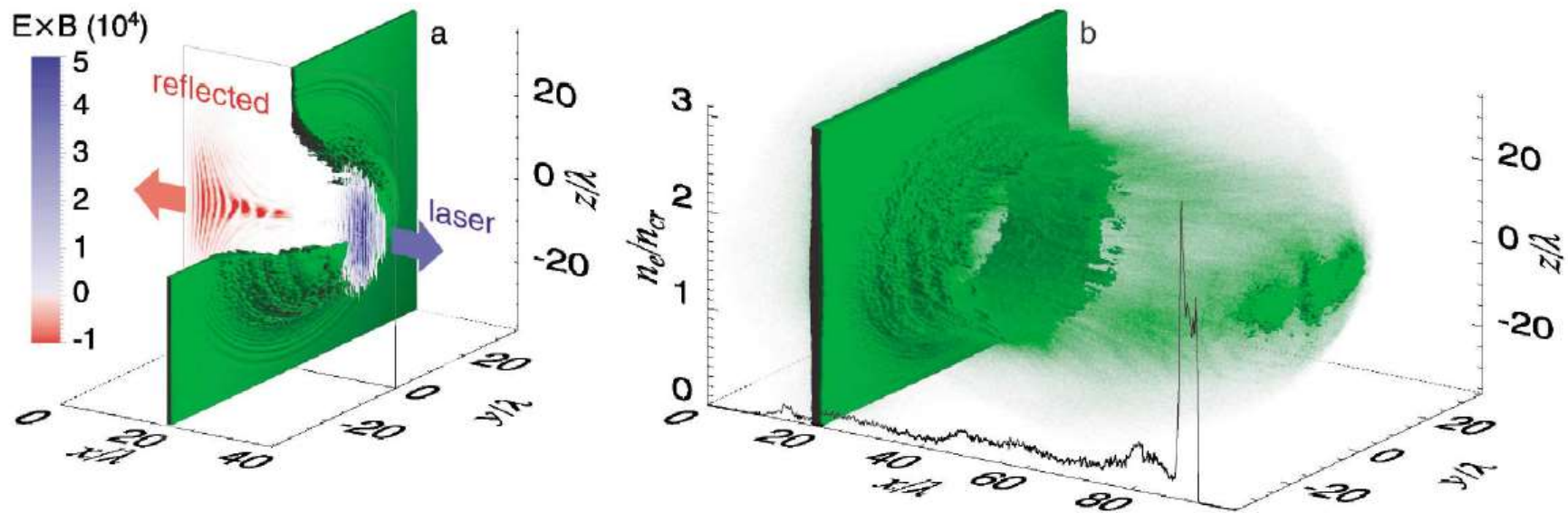


FIG. 1 (color). (a) The ion density isosurface for $n = 8n_{cr}$ (a quarter removed to reveal the interior) and the x component of the normalized Poynting vector $(e/m_e\omega c)^2 \mathbf{E} \times \mathbf{B}$ in the $(x, y = 0, z)$ plane at $t = 40 \times 2\pi/\omega$. (b) The isosurface for $n = 2n_{cr}$, green gas for lower density at $t = 100 \times 2\pi/\omega$; the black curve shows the ion density along the laser pulse axis.

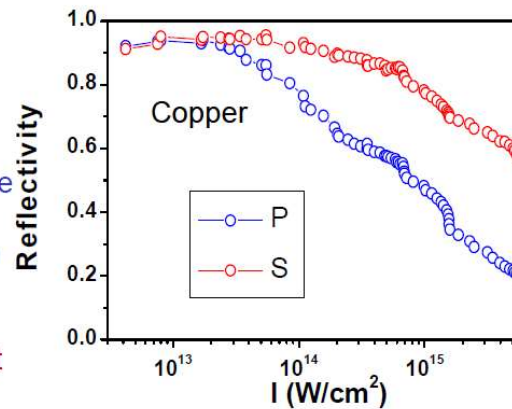
Plasma absorption

$A = 1 - R$

$I < 3 \times 10^{13} \text{ W cm}^{-2}$, A is almost polarization independent & obeys Fresnel laws, as IB is dominant

• at higher intensities, there is a clear polarization dependence of absorption

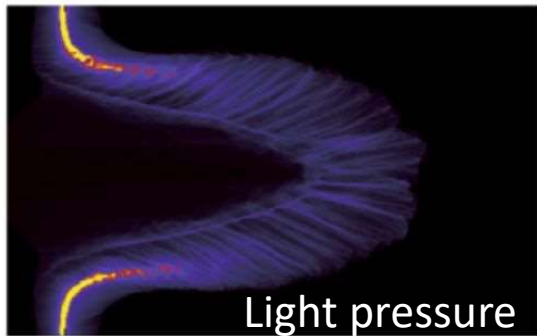
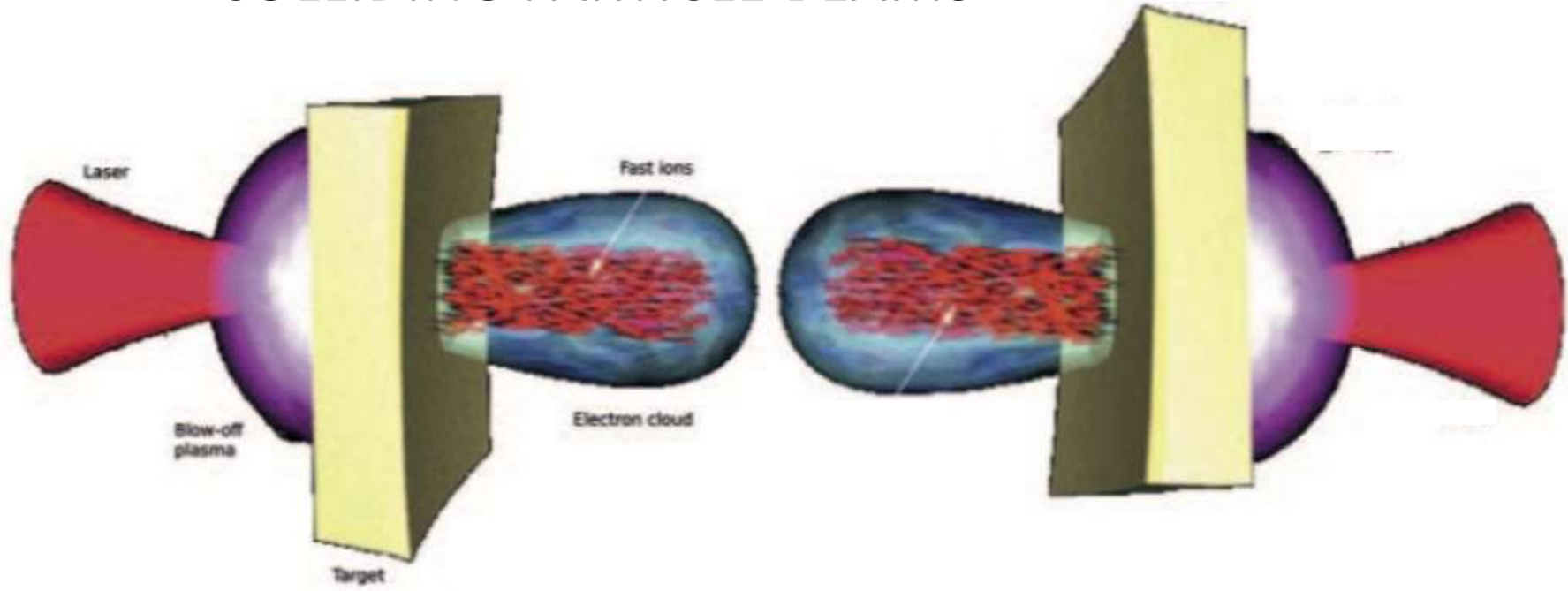
• the difference in absorption should account for extra absorption mechanisms, which are polarization dependent



R vs I at 45°

TIFR data

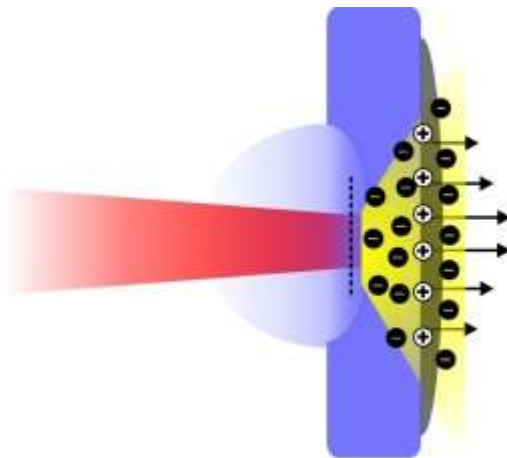
COLLIDING PARTICLE BEAMS



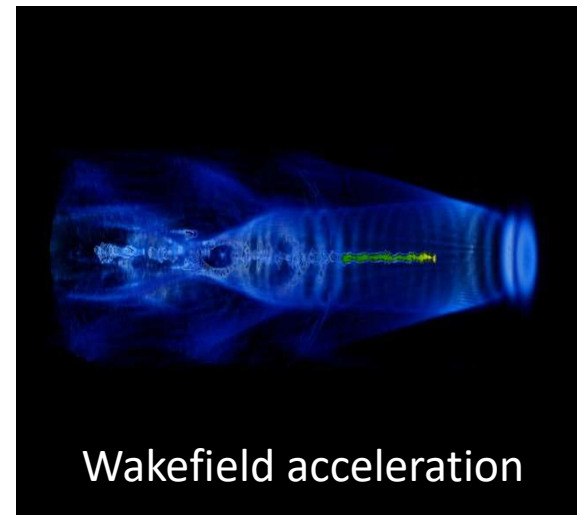
Light pressure

Proton acceleration by radiation pressure (100 MeV)

Nanoparticles: also volume contraction



Target normal sheath acceleration



Wakefield acceleration

Európai Lézer Infrastruktúra – Szeged, HU



ELI-ALPS Szeged:
EU Extr. Fény Infrastruktúra
Attosec. Impulzusú Fényforrás

2PW extrém nagy térerősség
10 Hz, <10fs, **20 J**